

LARVES DE CERIANTHAIRES DU GOLFE DE GUINEE

PAR

Eugène LELOUP (Bruxelles)

(Avec 2 planches hors texte)

Origine. — Les larves qui font l'objet de cette étude proviennent de deux endroits différents :

1. — Large de Vridi, République de la Côte d'Ivoire; communiquées par M. P. RANCUREL, Centre de Recherches océanographiques, Abidjan, République de Côte d'Ivoire.

2. — Annobon, Ombango; filet à plancton, grand Schmidt; 300 m de câble dehors; à 4 milles à l'ouest de l'île; 13 h 50 - 14 h 05; fond de 1000 m; réc. A. STAUCH, O. R. S. T. O. M., Centre d'océanographie et des pêches de Pointe-Noire, République du Congo; parmi les larves de Céphalopodes communiquées à mon collègue W. ADAM.

LISTE DES ESPECES.

CERIANTHIDAE.

Syndactylactis chuni CARLGREN, 1924.

Sacculactis guntheri LELOUP, 1964.

Bursanthus bamfordi gen. n., sp. n.

ACONTIOIDIFERIDAE.

Isapiactis obconica (Mc MURRICH, 1910).

BOTRUCNIDIFERIDAE.

Cerianthula canariensis Ed. VAN BENEDEN, 1897.

Cerianthula spinifer (Ed. VAN BENEDEN, 1897).

Angianthula cerfontaini sp. n.

CERIANTHIDAE.

Genre *Syndactylactis* CARLGREN, 1924.*Syndactylactis chuni* CARLGREN, 1924.

(Pl. I, fig. 1 : fig. texte 1.)

Syndactylactis chuni, CARLGREN, O., 1924, pp. 383-386; fig. texte 2; pl. I, fig. 25; pl. V, fig. 4, 5, 11.

Origine et matériel. — N° 485 : Golfe de Guinée; au large de Vridi; 27-XII-1962; 10 h 20 - 11 h 20; longueur du câble, 740 m; Midwater trawl Isaac Kidd — 1 spécimen.

Description. — Larve blanchâtre dans le liquide conservateur. Corps sphérique (Pl. I, fig. 1), contracté dans le sens oro-aboral, dilaté, plus large (4,2 mm) que haut (3,7 mm). Face orale plane, circulaire; cône buccal assez marqué; actinostome allongé, étroit. Face aborale arrondie.

18 tentacules marginaux (8 gauches, 1 médian antérieur, 9 droits) (fig. 1) annelés, arrondis en coupe transversale, courts ($2 T = 1,5 \times 0,3$ mm), séparés, digitiformes, courbés. 10 tentacules labiaux séparés (5 gauches, 5 droits), ni t ni a, courts (${}^1t = 0,5 \times 0,3$ mm), digitiformes.Actinopharynx allongé; paroi lisse; $4/11$ de la hauteur du corps; sulcus court, étroit; hyposulcus et hémisulques très courts.23 sarcoseptes (11 gauches, 12 droits; 8S , 7S , S^8 , S^9 incomplets) (fig. 1) limitent 19 loges complètes (8 gauches, 1 antérieure, 9 droites, 1 postérieure) dont L en triangle isocèle allongé, avec des épaisissements mésogléïques de ${}^dSS^d$ au niveau de leurs insertions actinopharyngiennes. ${}^dSS^d$ dépassent les $2/3$ de la hauteur sous-actinopharyngienne; les plus longues, a, 1, 3 mesurent $9/11$ de cette hauteur; ensuite, p et 2 arrivent au même niveau que ${}^dSS^d$; viennent après, par ordre décroissant 4, 5, 6, 7, 8, 9. Pelotons mésentériques courts, sur a - 5, S^6 . Bourrelets mésentériques du type 2 de O. CARLGREN (1924).18 tentacules marginaux : 6T - aT , T, T^a - T^7 .10 tentacules labiaux : 4t - pt , —, —, —, t^p - t^4 .23 sarcoseptes : 8S - aS , ${}^dSS^d$, S^a - S^9 .19 loges complètes : 6L - aL , L, L^a - L^7 , 1.Rapports et différences. — Pourvue de T digitiformes à toutes les loges, de t aux loges autres que L, ${}^aLL^a$ et ${}^pLL^p$ et de ${}^dSS^d$ hautes, cette larve se range dans le genre *Syndactylactis* CARLGREN, 1924.

Si on tient compte des contractions différentes que subissent les larves de cérianthaires au moment de leur fixation dans le liquide conservateur, les longueurs relatives de l'actinopharynx et des cloisons de notre

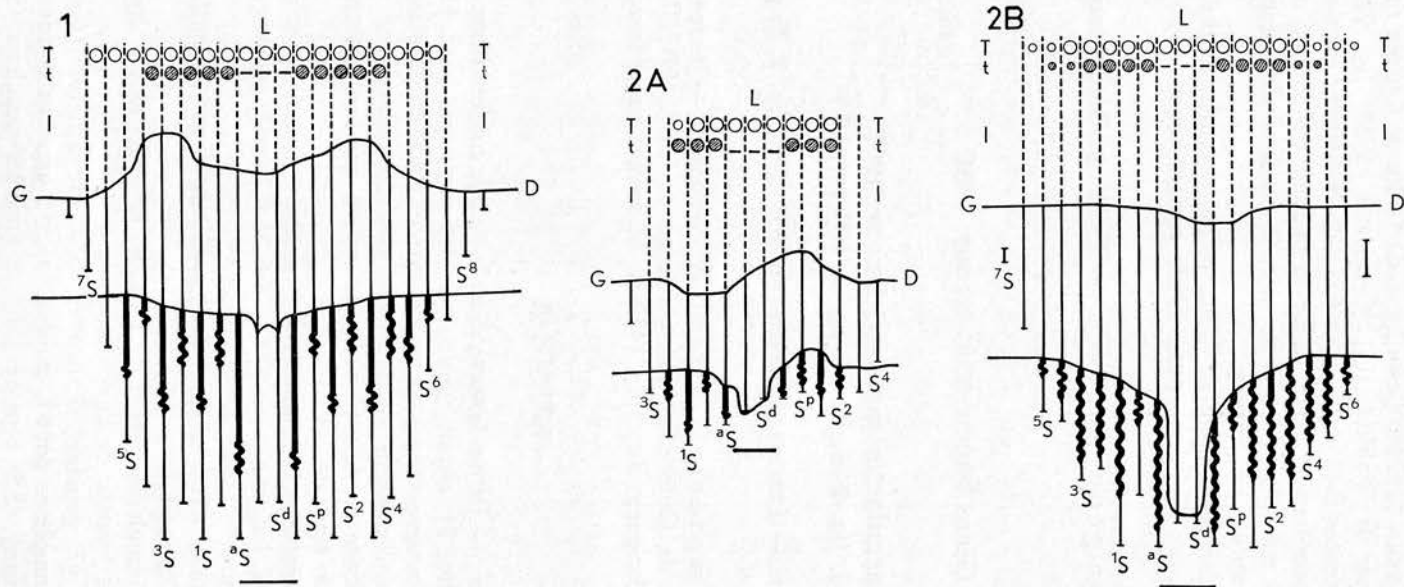


Fig. 1-2 — Reconstitution de larves de Cérianthaires.

1 — *Syndactylactis chuni* CARLGREN, 1924.

2 — *Sacculactis guntheri* LELOUP, 1964.

2A = Annobon — 2B = large de Vridi.

exemplaire concordent avec la description originale de *Syndactylactis chuni* par O. CARLGREN (1924). Cette larve du Golfe de Guinée rappelle celles recueillies par la Valdivia (O. CARLGREN, 1924, fig. 2). Elle présente des sarcoseptes d atteignant les 6/11 de la hauteur sous-actinopharyngienne (actinopharynx = 4/10 de la hauteur du corps); a et 1, les plus longs et 3, très peu plus courts; p et 2, presque identiques à d; à partir de 4, diminution progressive.

A mon avis, la larve du large de Vridi et les exemplaires du Golfe de Guinée décrits par O. CARLGREN, 1924, appartiennent à la même espèce : *chuni*.

Distribution géographique. — Golfe de Guinée; au large de la Côte d'Ivoire.

Genre *Sacculactis* LELOUP, 1964.

Sacculactis guntheri LELOUP, 1964.

(Pl. I, fig. 2, 3; Pl. II, fig. 2; fig. texte 2.)

Sacculactis guntheri — LELOUP, E., 1964, pp. 258, 259; fig. 2, 8; pl. IX, fig. 4-11.

Origine et matériel — Larve A: Annobon — 1 spécimen.

Larve B: Golfe de Guinée, n° 486; au large de Vridi; 27-XII-1961; 15 h 30 - 16 h 30; longueur du câble, 1480 m; Midwater trawl Isaac Kidd — 1 spécimen.

LARVE A

Description. — Petite, laiteuse dans le liquide conservateur. Corps sphérique (Pl. I, fig. 2), aplati, plus large (1,4 mm) que haut (1 mm) fortement contracté surtout dans la région droite. Face orale, plane, circulaire; cône buccal déformé; actinostome ovalaire, largement ouvert (0,7 × 3,5 mm). Face aborale plane, avec orifice anal au centre d'une dépression circulaire centrale.

9 tentacules marginaux (4 gauches, 1 médian antérieur, 4 droits) (fig. 2A), filiformes, longs, minces ($T^2 = 5,6 \times 0,2$ mm), prolongeant la colonne, 2 T petits.

6 tentacules labiaux (3 gauches, 3 droits; pas de t, ^{att}a), digitiformes, courts ($t^p = 1 \times 0,6$ mm).

Actinopharynx circulaire, large; 1/2 de la hauteur totale; hyposulcus large, 1/4 de la hauteur de la colonne; pas d'hémisulques.

14 sarcoseptes (7 gauches, 7 droits; ⁴SS⁴ incomplets) (fig. 2A) limitent 12 loges complètes dont L trapézoïdale (5 gauches, 1 antérieure, 5 droites, 1 inférieure). ^aSS^a à peine indiqués sous l'hyposulcus. ¹SS¹ les

plus longues; se suivent par ordre décroissant de hauteur : a, 2 (presque identiques), p, 3, 4. Pelotons mésentériques sur a - 2. Bourrelets mésentériques du type 2 de O. CARLGREN, 1924. A la base de $^1SS^1$, les mésentérielles présentent une concentration de nématocystes (Pl. II, fig. 2A) semblables à ceux mentionnés pour la larve du Golfe de Guinée (E. LELOUP, 1964).

9 tentacules marginaux : $^2T - ^aT$, T, $T^a - T^2$.

6 tentacules labiaux : $^2t - ^pt$, —, —, —, $t^p - t^2$.

14 sarcoseptes : $^4S - ^aS$, $^dSS^d$, $S^a - S^4$.

12 loges complètes : $^3L - ^aL$, L, $L^a - L^3$, 1.

LARVE B

Description. — Brunâtre dans le liquide conservateur. Corps sphérique (Pl. I, fig. 3) (2,8 mm jusqu'à la base des T \times 2,8 mm), fortement contracté selon l'axe oro-aboral. Face orale plane, circulaire; cône buccal peu élevé, formant une couronne étroite extérieure; actinostome très largement ouvert encombré de pelotons mésentériques. Face aborale arrondie, terminée en pointe, avec un orifice anal.

18 tentacules marginaux petits (5 T, 8 gauches, 1 médian, 9 droits) (fig. 2B) : seuls subsistent les $^6TT^6$, T^7 ; les autres ont été arrachés, leur présence se manifeste par des orifices horizontaux, ovalaires allongés, disposés en cercle sous la couronne labiale.

12 tentacules labiaux, cylindriques, courts, épais (6 gauches, 6 droits; pas de t, $^{att^a}$) (fig. 2B).

Actinopharynx ovalaire, large, encombré de pelotons mésentériques; 1/2 de la hauteur totale; hyposulcus large, 3/10 de la hauteur du corps; pas d'hémisulques.

20 sarcoseptes (10 gauches, 10 droits; 6S , $^7SS^7$ incomplets) (fig. 2B) délimitent 17 loges complètes (7 gauches, 1 antérieure, 8 droites, 1 postérieure) dont L trapézoïdale, large. $^dSS^d$ très courts. $^1SS^1$, les plus longues, ont la hauteur de l'actinopharynx; elles dépassent à peine les a : ensuite, viennent par ordre décroissant p, 3, 2, 4 - 7. Pelotons mésentériques sur a - 5, S^6 . Bourrelets mésentériques du type 2 de O. CARLGREN (1924).

Dans la partie aborale de $^1SS^1$ et $^3SS^3$, le réseau protoplasmique à larges mailles contient des nématocystes cylindriques, allongés (30 \times 6 mm), plus ou moins courbés, arrondis aux deux extrémités (Pl. II, fig. 2A).

18 tentacules marginaux : $^6T - ^aT$, T, $T^a - T^7$.

12 tentacules labiaux : $^5t - ^pt$, —, —, —, $t^p - t^5$.

20 sarcoseptes : $^7S - ^aS$, $^dSS^d$, $S^a - S^7$.

17 loges complètes : $^5L - ^aL$, L, $L^a - L^6$, 1.

Remarques. — Les larves d'Annobon et du Golfe de Guinée présentent une particularité commune. A la fin de leurs courts pelotons

mésentériques, les cloisons $^1SS^1$ présentent latéralement des coupes d'organes qui, à première vue, font penser à des acontioïdes ($x =$ Pl. II, fig. 2B). Mais en examinant les coupes successives, on décèle que ces coupes constituent des tranches tangentielles d'une boursouflure de la cloison plissée par la forte contraction subie par la larve. D'ailleurs, la structure de ces protubérances ne rappelle pas celle décrite par les auteurs chez les acontioïdes. En effet, ces dernières représentent des batteries urticantes filiformes, simples ou bifurquées, formées par des extensions des filaments mésentériques, ectodermiques.

Rapports et différences. — La présence de T à toute les loges y compris la médiane antérieure, de t sauf aux loges médianes antérieures et antipathoïdes antérieures, d'un actinopharynx élevé, d'un hyposulcus haut et de cloisons directrices dépassant peu (fig. 2B) ou non (fig. 2A) le bord entérostomien classent cette larve cérianthide parmi le genre *Sacculactis* LELOUP, 1964. Ce dernier ne comprend qu'une espèce: *guntheri* LELOUP, 1964, originaire de l'Océan Indien et qui se caractérise par $^1SS^1$, les plus hautes, suivies de $^aSS^a$ et par la présence sur des cloisons d'ordre impair, de cellules larges contenant un nématocyste cylindrique, allongé, parfois plus ou moins arqué (E. LELOUP, 1964; Pl. IX, fig. 10).

Les larves décrites plus haut répondent à ces critères. Malgré leur origine atlantique, elles appartiennent à l'espèce *Sacculactis guntheri*.

Distribution géographique. — Océan Indien: Courant Sud Equatorial, large des îles Cocos. Océan Atlantique: Golfe de Guinée, large d'Annobon et de Vridi.

Genre *Bursanthus* gen. n.

Bursanthus bamfordi sp. n.

(Pl. I, fig. 4, 5, 6; Pl. II, fig. 1; fig. texte 3.)

LARVES A

Origine et matériel. — N° 488: Golfe de Guinée; au large de Vridi; 13-X-1961; 14 h-15 h; longueur du câble, 1480 m; Midwater trawl Isaac Kidd — 2 spécimens: a, b.

Spécimen. — Aa.

Description. — Larve jaune clair dans le liquide conservateur. Corps fortement contracté (Pl. I, fig. 4), ovalaire en coupes optiques, comprimé latéralement, plus large (7,5) que haut (6 mm). Face orale avec partie droite détruite et actinopharynx évaginé; cône buccal peu

marqué. Face aborale avec un orifice anal largement ouvert au centre d'une dépression circulaire.

15 tentacules marginaux (7 gauches, 1 médian antérieur, 7 droits) (fig. 3Aa) séparés, digitiformes, recourbés et plissés ce qui indique une contraction (${}^aT = 4,5 \times 1$ mm).

15 tentacules labiaux (7 gauches, 1 médian antérieur, 7 droits) digitiformes, courbes (${}^pt = 1,7 \times 0,6$ mm).

Actinopharynx allongé, à paroi lisse vers l'avant, plissé à l'arrière; hyposulcus large, 1/6 de la hauteur sous-actinopharyngienne; pas d'hémisulques.

17 sarcoseptes (8 gauches, 9 droits; S^6 incomplet) (fig. 3 Aa) limitent 16 loges (7 gauches, 1 antérieure, 7 droites, 1 postérieure) dont L trapézoïdale, large. ${}^aS = 2/3$ de la hauteur sous-actinopharyngienne, $S^d = 4/9$. Par suite de la contraction, la hauteur relative des autres sarcoseptes n'est pas repérable. Pelotons mésentériques sur a - 4. Bourrelets mésentériques du type 2 de O. CARLGREN, 1924. Tissus ectodermiques et endodermiques très abîmés: nématocystes rares et fortement rongés.

15 tentacules marginaux: ${}^5T - {}^aT$, T, $T^a - T^5$.

15 tentacules labiaux: ${}^5t - {}^at$, t, $t^a - t^5$.

17 sarcoseptes: ${}^5S - {}^aS$, ${}^dSS^d$, $S^a - S^6$.

16 loges complètes: ${}^5L - {}^aL$, L, $L^a - L^5$, 1.

Spécimen. — Ab.

Description. — Larve brun clair dans le liquide conservateur. Corps fortement contracté oro-aboralement (Pl. I, fig. 5), plus large (16 mm) que haut (12 mm). Face orale plane, actinopharynx bien ouvert, triangulaire avec base antérieure; cône buccal peu marqué. Face aborale concave, au centre d'une dépression circulaire: une proéminence aborale centrale, percée par l'orifice anal.

17 tentacules marginaux (8 gauches, 1 médian antérieur, 8 droits) (fig. 3 Ab), séparés, grands (${}^2T = 10 : \times 1,2$ mm à la base: $\times 0,6$ mm à l'extrémité), cylindriques, minces, à bouts arrondis.

17 tentacules labiaux (8 gauches, 1 médian antérieur, 8 droits) digitiformes, petits (${}^2t = 2 \times 0,8$ mm).

Actinopharynx allongé, avec bourrelets contractés; 2/3 de la hauteur totale; partie sous-actinopharyngienne fortement contractée; hyposulcus large, 1/6 de la hauteur totale; hémisulques très courts.

20 sarcoseptes (10 gauches, 10 droits; ${}^7SS^7$ incomplets) (fig. 3 Ab) limitent 18 loges (8 gauches, 1 antérieure, 8 droites, 1 postérieure) dont L trapézoïdale, large. ${}^dSS^d = 7/12$ de la hauteur sous-actinopharyngienne. De même hauteur, aS et S^a , atteignent presque la face aborale; la contraction des cloisons ne permet pas de définir leur hauteur respective. Bourrelets mésentériques de type indéfinissable. Pelotons mésentériques repérés sur ${}^4S - {}^aS$ et $S^a - S^6$. Pas de gros nématocystes endodermiques.

17 tentacules marginaux : ${}^6T - {}^aT$, T, $T^a - T^6$.

17 tentacules labiaux : ${}^6t - {}^at$, t, $t^a - t^6$.

20 sarcoseptes : ${}^7S - {}^aS$, ${}^dSS^d$, $S^a - S^7$.

18 loges complètes : ${}^6L - {}^aL$, L, $L^a - L^6$, 1.

LARVE B

Origine et matériel. — N° 483 : Golfe de Guinée; au large de Vridi; 27-XII-1961; 20 h 30-21 h 30; longueur du câble, 1480 m; Mid-water trawl Isaac Kidd — 1 spécimen.

Description. — Larve (1) brun jaunâtre dans le liquide conservateur. Corps cylindrique (Pl. I, fig. 6), plus haut (18,5 mm) que large (10 mm). Face orale plane, cône buccal peu marqué; actinostome largement ouvert. Face aborale arrondie, avec une pointe centrale percée d'un orifice anal.

18 tentacules marginaux (8 gauches, 1 médian antérieur, 9 droits) (fig. 3 B) séparés, cylindriques, minces, allongés (${}^2T = 6,6 \times 0,8$ mm), ${}^5S - {}^3S$ et $S^a - S^5$ sous forme de cicatrices.

18 tentacules labiaux (8 gauches, 1 médian antérieur, 9 droits), digitiformes ($1,5 \times 0,4$ mm).

Actinopharynx allongé, paroi lisse, cellules glandulaires ectodermiques très nettes; 1/2 de la hauteur totale; hyposulcus large, très long (2/3 de la hauteur sous-actinopharyngienne), pas d'hémisulques.

19 sarcoseptes (9 gauches, 10 droits; 6S , S^7 incomplets) (fig. 3 B) limitent 17 loges (7 gauches, 1 antérieure, 8 droites, 1 postérieure) dont L trapézoïdale, très large, avec attaches de ${}^dSS^d$ épaisses et triangulaires en coupes transversales. ${}^dSS^d$ très courts. Par suite de la violente contraction oro-aborale plus forte à droite, les cloisons ${}^2S - {}^aS$; 3S , $S^1 - S^3$; 4S , S^4 , S^5 se terminent aux mêmes niveaux : leur hauteur relative n'est guère significative. Pelotons mésentériques sur a - 4 et S^4 , S^6 . Bourrelets mésentériques abîmés.

18 tentacules marginaux : ${}^6T - {}^aT$, T, $T^a - T^7$.

18 tentacules labiaux : ${}^6t - {}^at$, t, $t^a - t^7$.

19 sarcoseptes : ${}^6S - {}^aS$, ${}^dSS^d$, $S^a - S^7$.

17 loges complètes : ${}^5L - {}^aL$, L, $L^a - L^6$, 1.

(1) Cette larve a été abîmée lors de sa capture : tentacules marginaux arrachés, ectoderme de la colonne souvent réduit à la couche musculaire, endoderme des parois et des cloisons ratatiné, destruction des entéroïdes. De plus, au cours de son passage dans les divers liquides nécessaires à la préparation pour coupes microscopiques, elle s'est contractée, ce qui rend difficile l'interprétation de son architectonique. La contraction se manifeste dans le sens oro-aboral (hauteur relative des cloisons et des pelotons mésentériques) ainsi que dans le sens radiaire (sinuosité des sarcoseptes, forme triangulaire des coupes transversales de la partie supérieure du corps).

LARVE C

Origine et matériel. — N° 486 : Golfe de Guinée; au large de Vridi; 27-XI-1961; 15 h 30-16 h 30; longueur du câble, 1480 m; Midwater trawl Isaac Kidd — 1 spécimen.

Description. — Larve brun clair dans le liquide conservateur. Corps fortement contracté dans le sens oro-aboral, allongé, cylindrique et renflé au milieu, plus haut (de la face aborale à la base des tentacules = 12 mm) que large (base des tentacules = 7 mm, milieu = 7,7 mm, base = 4,5 mm). Face orale, concave avec actinostome largement ouvert. Face aborale aplatie avec un renflement central pourvu d'un orifice anal.

17 tentacules marginaux (7 gauches, 1 médian antérieur, 8 droits, 1 médian postérieur) (fig. 3 C), séparés, droits ou courbes, coniques (2 T = 6 × 1,2 mm), digitiformes (⁵T = 3 × 1,3 mm) ou filiformes (¹T = 6,5 : dans le bas × 1 mm; dans le haut = 0,2 mm), selon leur état de contraction.

17 tentacules labiaux (8 gauches, 1 médian antérieur, 8 droits) digitiformes, petits; ébauche interne de ⁶t (Pl. II, fig. E).

La loge postérieure (1) de multiplication (Pl. II, fig. 1 E) comprend a) dans la paroi actinopharyngienne, l'ébauche cylindrique d'un tentacule labial postérieur qui semble le futur ⁶t; b) dans la paroi du corps, l'ébauche aplatie d'un tentacule marginal (⁶T ?) postérieur (T x), flanquée par deux débuts de cloisons dont la gauche (⁶S) est plus large que la droite (S⁷).

Actinopharynx allongé; 1/2 de la hauteur totale; hyposulcus large, 1/2 de la hauteur sous-actinopharyngienne, hémisulques courts, en moyenne 1/5 de la partie libre de ^sdd^s.

19 sarcoseptes (9 gauches, 10 droits; ⁶S, S⁷ incomplets) (fig. 3 C) limitent 17 loges (7 gauches, 1 antérieur, 8 droites, 1 postérieure) dont L trapézoïdale. ³SS³ les plus longues = les 9/10 de la hauteur sous-actinopharyngienne. Pelotons mésentériques sur a - 4, S⁶ (Pl. II, fig. D). Bourrelets mésentériques du type 2 de O. CARLGREN, 1924.

17 tentacules marginaux : ⁵T - ^aT, T, T^a - T⁶, T_x.

17 tentacules labiaux : ⁶t - ^at, t, t^a - t⁶.

19 sarcoseptes : ⁶S - ^aS, ^aSS^a, S^a - S⁷.

17 loges complètes : ⁵L - ^aL, L, L^a - L⁶, 1.

Remarques. — Ces quatre larves appartiennent manifestement à une seule espèce. Fragiles, elles ont subi des contractions violentes : l'épithélium ectodermique de la paroi du corps a été plus au moins détruit, même enlevé et parfois (larve B) les tentacules marginaux ont été arrachés par suite du frottement à l'intérieur du filet récolteur.

Elles se caractérisent par plusieurs espèces de nématocystes cylindriques (Pl. II, fig. 1 A, B, C) : a) minces et allongés (53 × 6 μ), dans la région supérieure de la colonne ectodermique; b) petits, minces, courbes

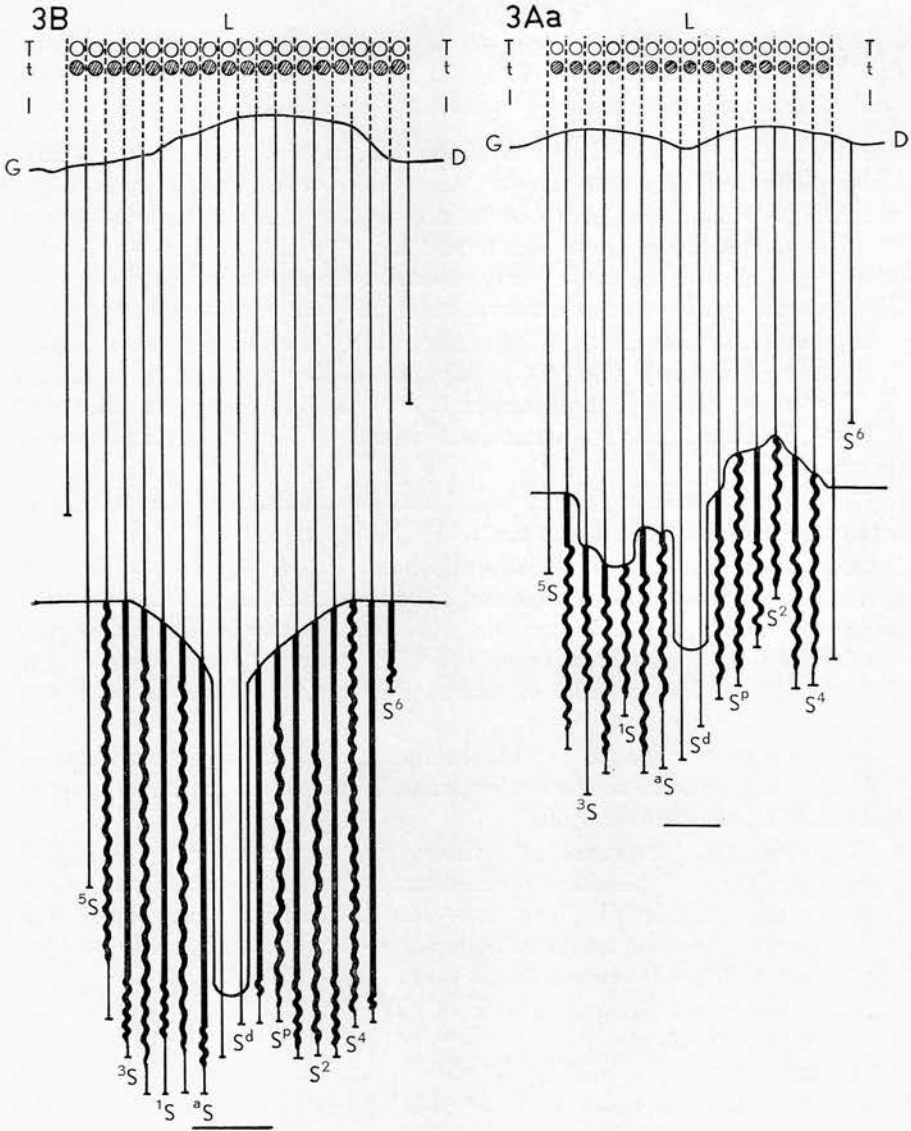
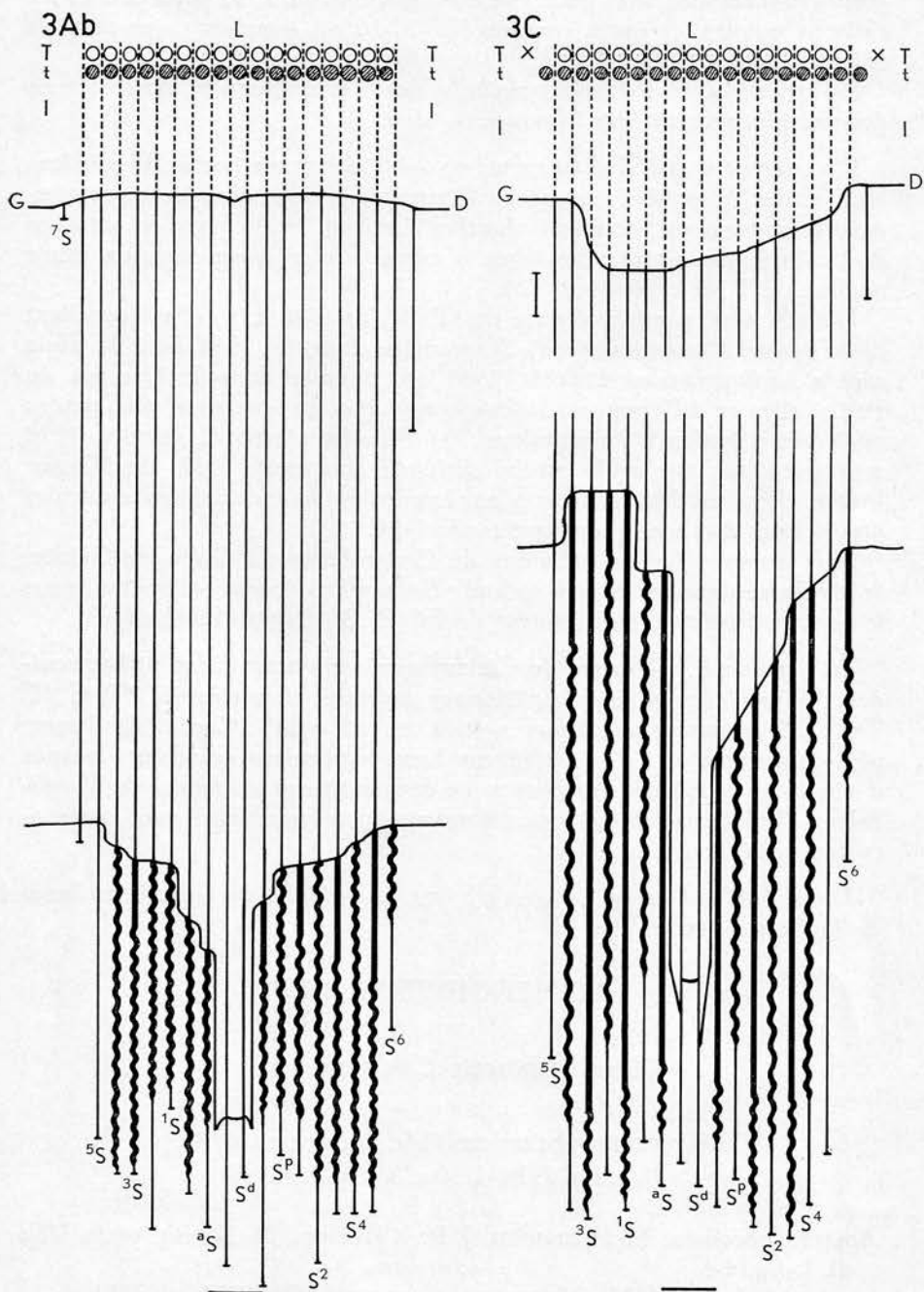


Fig. 3 — Reconstitution de larves de Cérianthaires.

Bursanthus bamfordi sp. n.

Larve de Vridi.

3A = N° 488; 3Aa = larve Aa; 3Ab = larve Ab — 3B = N° 483 — 3C = N° 486.



($43 \times 3 \mu$), dans les mésentérelles. Ils rappellent ceux de *Sacculactis guntheri*; nombreux chez les cloisons pelotonnées (a, 1, 3) et rares chez les cloisons simples, c) épais, courbes ($73 \times 16 \mu$), dans les tissus ecto- et endodermiques de la colonne.

La hauteur sous-actinopharyngienne de leurs sarcoseptes directeurs ne dépasse pas celle de leur hyposulcus, élevé.

Rapports et différences — Caractérisée par un hyposulcus haut et des dd petites, ces larves Cérianthides suggèrent un rapprochement avec l'espèce *Sacculactis guntheri* LELOUP, 1964. Mais, la présence de t cylindrique à toutes les loges, y compris la médiane, pour un même nombre de T les en écartant (2).

D'autre part, par la présence de ^aT, T, T^a et ^at, t, t^a, elles rappellent deux genres Cérianthides : a) *Nautanthus* LELOUP, 1964 dont la seule espèce *bathypelagicus* LELOUP, 1964 est signalée dans le Courant du Pérou; elles en diffèrent par leurs cloisons directrices courtes, plus petites ou à peine égales à l'hyposulcus; b) *Paradactylactis* CARLGREN, 1924 représenté par une seule espèce *cerfensis* BAMFORD, 1912, de l'Océan Indien; elles s'en distinguent par leur hyposulcus haut et par des tentacules digitiformes de coupe transversale circulaire.

Afin de spécifier les individus de Cérianthides du Golfe de Guinée, je les classe dans un groupe spécial : *Bursanthus* (bursa = bourse) sous le nom de *bamfordi*, en l'honneur de Ed. E. BAMFORD (Cambridge).

Diagnose. — Larve de Cérianthaire sans acontioïdes ni botrucnides. Tentacules marginaux digitiformes, de coupe circulaire : ¹T, ^pT, ^aT, T, T^a, T^p, T¹-; tentacules labiaux : - ¹t, ^pt, ^at, t, t^a, t^p, t¹-. Corps cylindrique, plus ou moins aplati. Actinopharynx haut; hyposulcus grand; peu ou pas d'hémisulques. Cloisons directrices ne dépassant pas la hauteur de l'hyposulcus. Endoderme des cloisons d'ordre impair vacuoleux, avec nématocystes cylindriques courbes.

Distribution géographique. — Golfe de Guinée, au large de la Côte d'Ivoire.

ACONTIOIDIFERIDAE

Genre *Isapiactis* CARLGREN,

Isapiactis obconica (Mc MURRICH, 1910).

(Pl. I, fig. 7; Pl. II, fig. 3 : fig. texte 4.)

Apiactis obconica, Mc MURRICH, J. P., 1910, pp. 31-32; fig. texte VII; pl. I, fig. 4-5.

Isapiactis obconica (Mc MURRICH), CARLGREN, O., 1924, p. 375.

(2) Comparer fig. 2, E. LELOUP, 1964 et fig. 3Aa de ce texte.

Origine et matériel. — N° 486 : Golfe de Guinée; au large de Vridi; 27-XII-1961; 15 h 30-16 h 30; longueur du câble, 1480 m; Mid-Water trawl Isaac Kidd — 1 spécimen.

Description. — Larve légèrement brunâtre dans le liquide conservateur. Corps cylindrique (Pl. I, fig. 7), renflé au centre, plus haut (3,4 mm) que large (3,1 mm). Face orale plane, circulaire; cône buccal peu élevé; actinostome allongé, avec sillons bien marqués. Face aborale plane, avec un orifice anal au centre d'une dépression centrale, circulaire.

19 tentacules marginaux (9 gauches, 1 médian antérieur, 9 droits), (fig. 4), digitiformes, peu élevés ($0,7 \times 0,15$ mm; 7T petit), à base étroite ou large suivant l'état de contraction.

12 tentacules labiaux (6 gauches, 6 droits; ni t ni a), digitiformes, courts. Actinopharynx ovalaire, large; paroi plissée; $1/3$ de la hauteur du corps; sulcus très court, étroit; hyposulcus et hémisulques très courts.

23 sarcoseptes (11 gauches, 12 droits; 8S , 9S incomplets) (fig. 4) limitent 21 loges complètes dont L de forme trapézoïdale, à paroi actinopharyngienne très étroite avec les épaisissements mésoglèiques de ${}^4SS^d$, très proches. Par rapport à la hauteur sous-actinopharyngienne (fig. 4). ${}^4SS^d$ atteignent les $8/11$; à gauche, 3S , 1S , ${}^aS = 11/12$ et pS , 2S , 4S , ${}^5S = 8/12$; à droite ${}^aS = 11/12$, 1S et ${}^3S = 9/12$, ${}^pS = 8/12$ et ${}^2S = 6/12$; par ordre décroissant, viennent ensuite 6, 7, 8, 9. Pelotons mésentériques sur a - 6, 7S . Bourrelets mésentériques du type 2 de O. CARLGREN (1924).

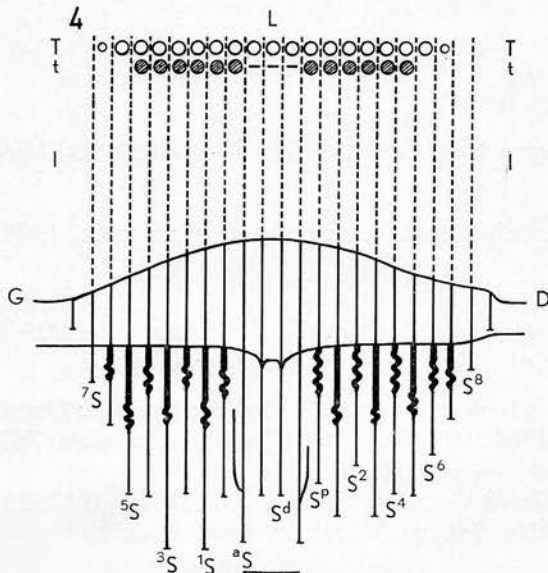


Fig. 4 — Reconstitution d'une larve de Cérianthaire.

Isapiactis obconica (McMURRICH, 1910).

2 acontioïdes sur ^aSS^a (Pl. II., fig. 3), simples, longues, filiformes, contournées, montantes (3).

19 tentacules marginaux : ⁷T - ^aT, T, T^a - T⁷.

12 tentacules labiaux : ⁵t - ^pt, —, —, —, t^p - t⁵.

23 sarcoseptes : ⁸S - ^aS, ^dSS^d, S^a - S⁹.

21 loges complètes : ⁷L - ^aL, L, L^a - L⁸, 1.

2 acontioïdes : ^aSS^a.

Rapports et différences. — La présence d'acontioïdes sur ^aSS^a, de nombreux tentacules marginaux et labiaux sauf t et ^{att}a, la grande hauteur de ^aSS^a classent cette larve dans le genre *Isapiactis* CARLGREN, 1924 qui, actuellement, ne comprend que l'espèce *obconica* J.P. Mc MURRICH, 1910 (pp. 31-32, fig. VII; pl. I, fig. 4, 5) pêchée par le « Siboga » dans les eaux des Indes Néerlandaises.

Le spécimen recueilli au large de Vridi ressemble aux larves signalées par J.P. Mc MURRICH (1910) mais non figurées. Au point de vue structure, l'exemplaire de la fig. VII montre des différences : pour 19 T, il ne possède que 9 t, 19 sarcoseptes et 19 loges complètes tandis que la larve de Vridi a respectivement 12 t, 23 S et 21 L. De telles variations de nombre entrent dans le gradient des possibilités qui se présentent chez les larves de cérianthaires. Aussi, je considère le spécimen d'*Isapiactis* de Vridi comme appartenant à l'espèce *obconica*.

Distribution géographique. — Océan Pacifique occidental, mer des Molluques, mer de Ceram; Océan Atlantique, Côte d'Ivoire.

BOTRUCNIDIFERIDAE.

Genre *Cerianthula* Ed. VAN BENEDEN, 1897.

Cerianthula canariensis CARLGREN, 1924.

(Pl. I, fig. 8, 9; fig. texte 5.)

Cerianthula canariensis, LELOUP, E., 1964, pp. 288-290; fig. 20, 29; pl. VIII, fig E; pl. XVII, fig. 1-8 (bibliographie).

Origine et matériel. — N° 485 : Golfe de Guinée; au large de Vridi; 27-XII-1962; 10 h 20-11 h 20; longueur du câble, 740 m; Midwater trawl Isaac Kidd — spécimens : Aa, Ab.

N° 487 : Golfe de Guinée; au Sud de Vridi; 1-II-1962; 23 h 00-24 h 00; longueur du câble, 740 m; Midwater trawl Isaac Kidd — 2 spécimens : Ba, Bb.

(3) Dans le tableau 3 (E. LELOUP, 1964), le signe + représentant l'acontioïde de S^a chez *Isapiactis* est représenté sous l'indication de la cloison d. Il y a erreur : ce signe + doit être déplacé sous l'indication de la cloison a.

LARVES A.

Larve Aa — Corps blanchâtre dans le liquide conservateur, sphérique (Pl. I, fig. 8), avec pôles aplatis, plus large (4,3 mm) que haut (3,4 mm). Fente actinostomienne, mince; cône buccal peu saillant. Face aborale avec un orifice anal au centre d'une dépression.

8 tentacules marginaux (4 droits, 4 gauches: a, p, l, 3) (Fig. 5 A), cylindriques, courts, épais, à base séparée, (${}^aT = 1,6 \times 0,7$ mm).

Actinopharynx presque la moitié de la hauteur du corps; hyposulcus et hémisulques, courts.

30 cloisons (15 gauches, 15 droites, 10 incomplètes: 8-12) (fig. 5 A) délimitent 20 loges (9 gauches, 1 antérieure, 9 droites, 1 postérieure) dont L trapézoïdale à grande base extérieure. Partie sous-actinopharyngienne de ${}^dSS^d$ égale la moitié de celle du corps: a les plus larges arrivent au 2/3; ensuite, par ordre de décroissance 1, p, 3, 2 puis diminution régulière de 4-12. Bourrelet mésentérique du type 2 de O. CARLGREN (1924). Pelotons mésentériques aux cloisons a-5.

10 botrucnides: a-3. Cnidorages arrondis à 5-6 gros nématocystes (jusque 11, selon O. CARLGREN, 1924).

8 tentacules marginaux: 3T , 1T , pT , aT , —, T^a , T^p , T^1 , T^3 .

30 sarcoseptes: ${}^{12}S$ - aS , ${}^dSS^d$, S^a - S^{12} .

20 loges complètes: 7L - aL , L, L^a - L^7 , 1.

10 botrucnides: 3S - aS , —, S^a - S^3 .

Larve Ab. — Les caractères génériques de cette larve très abîmée la rapprochent de la larve Aa. Cependant, elle en diffère par une forme plus haute (5,7 mm) que large (4,7 mm), la présence de 10 tentacules marginaux (a, p, 1, 3, 5 dont les 5 petits: ${}^pT = 1,3 \times 1$ mm), un actinopharynx de 7/16 de la hauteur totale; dd mesurent les 5/6 de la partie sous-actinopharyngienne. 39 sarcoseptes dont 19 gauches, 20 droits, 6 incomplets (${}^{14}S$, 15, 16, S^{17}).

10 tentacules marginaux: 5T , 3T , 1T , pT , aT , —, T^a , T^p , T^1 , T^3 , T^5 .

39 sarcoseptes: ${}^{16}S$ - aS , ${}^dSS^d$, S^a - S^{17} .

34 loges complètes: ${}^{13}L$ - aL , L, L^a - L^{13} , 1.

14 botrucnides: 5S - aS , S^a - S^5 .

LARVES B.

Larve Ba. — Corps brun clair en liquide conservateur. Corps dépouillé de son ectoderme, cylindrique avec le tiers inférieur légèrement renflé (hauteur jusqu'à la base des tentacules marginaux = 5,5 mm, jusqu'au-dessus du cône buccal = 6 mm; diamètre: au tiers supérieur = 3,3 mm, dans le renflement inférieur = 3,6 mm). Face orale avec cône buccal saillant, entourant un actinostome ovalaire, ouvert. Face aborale arrondie, obtuse (perforée par un orifice anal ovalaire allongé).

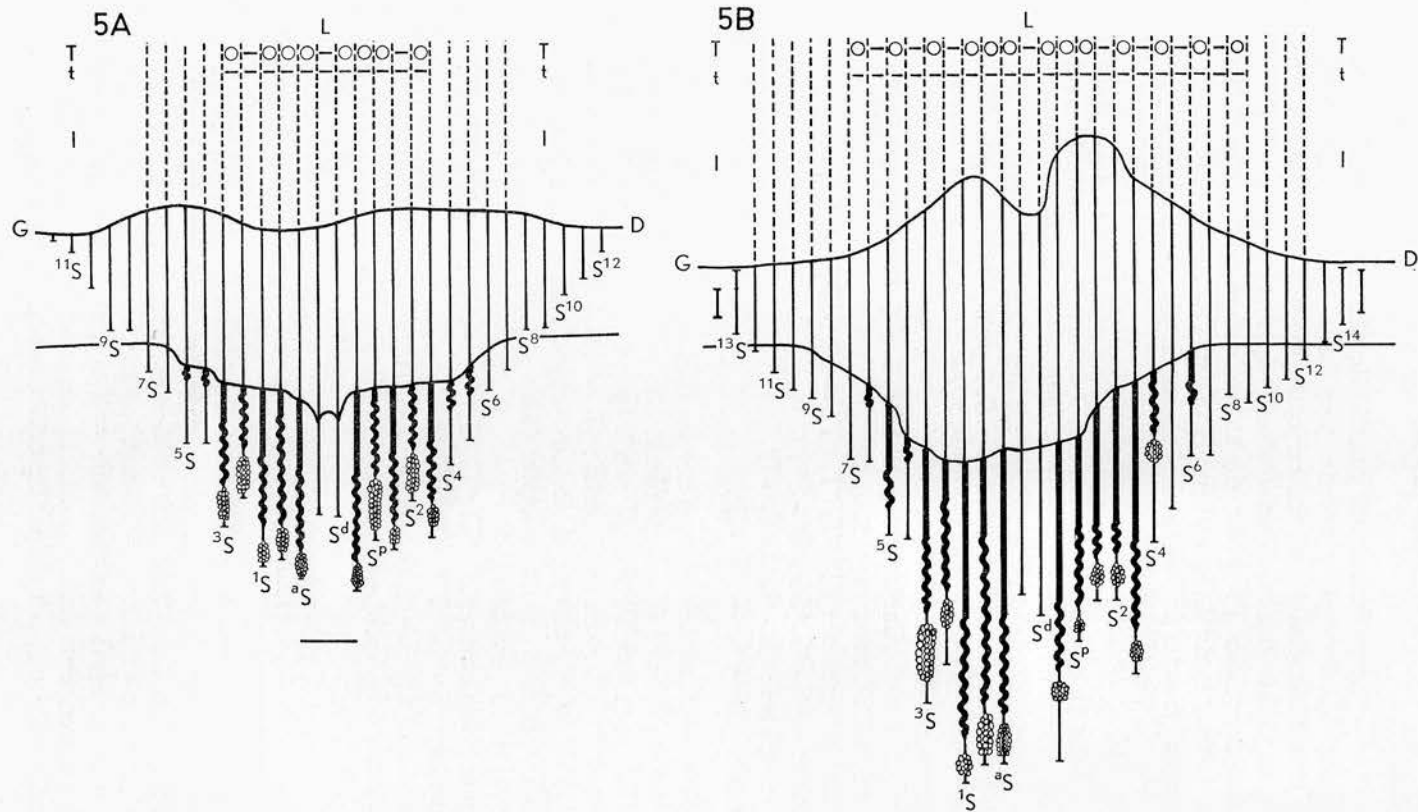


Fig. 5 — Reconstitution de larves de Cérianthaires.
Cerianthula canariensis Ed. VAN BENEDEN, 1897.
 Larve de Vridi.
 5A = larve Aa, N° 485 — 5B = larve Bb, N° 487.

8 tentacules marginaux (4 gauches, 4 droits) cylindriques légèrement incurvés, espacés, moyens (T^a = hauteur, 1,5 mm; diamètre, 0,5 mm), à extrémité distale obtuse : a, p, 1, 3 dont 3T plus petit.

Actinopharynx, ovalaire en coupe transversale, allongé antéropostérieurement = $1/3$ de la hauteur totale; hyposulcus court; hémisulques très courts.

25 cloisons (13 gauches, 12 droites, 2 incomplètes : 9S , S^{10}) délimitent 23 loges complètes (10 gauches, 1 antérieure, 11 droites, 1 postérieure) dont L trapézoïdale, avec grande base extérieure.

Partie sous-actinopharyngienne de $^dSS^d$ égale la moitié de celle du corps. Par ordre décroissant de hauteur, les cloisons a, 1, p sont plus élevées que d; à partir de 2, elles diminuent régulièrement avec un peu de différences entre 4 et 5, 6 et 7. Bourrelet mésentérique du type 2 de O. CARLGREN (1912). Pelotons mésentériques aux cloisons a - 5.

11 botrucnides : 3S - aS , S^a - S^4 . Cnidorages ovoïdes à 3-4 nématocystes allongés, cylindriques (43×13).

8 tentacules marginaux : 3T , 1T , pT , aT , —, T^a , T^p , T^1 , T^3 .

25 sarcoseptes : 9S - dS , S^d - S^{10} .

23 loges complètes : 8L - aL , L, L^a - L^9 , 1.

11 botrucnides : 3S - aS , S^a - S^4 .

Larve Bb. — Larve brun clair, pigmentée dans le liquide conservateur. Corps cylindrique (Pl. I, fig. 9), plus haut (5 mm) que large (3,7 mm du plus grand diamètre, 3 mm à la base des tentacules). Partie droite de la face antérieure défoncée sur toute la hauteur. Face orale déprimée, avec un mamelon central portant l'orifice anal.

13 tentacules marginaux (6 gauches, 7 droits; a, p, 1, 3, 5, 7, T^9); quatre premières paires a, p, 1, 3, bien développés, courts, épais (1T = base 1 mm), les autres petits (fig. 5 B).

Actinopharynx allongé, sillons bien marqués; contracté de bas en haut, avec la moitié droite plus élevée que la gauche; environ les $2/5$ de la hauteur totale; pas d'hyposulcus ni d'hémisulques.

35 sarcoseptes (17 gauches, 18 droits; $^{13, 14}S$, $S^{14, 15}$ incomplets) limitent 31 loges complètes (14 gauches, 1 antérieure, 15 droites, 1 postérieure) dont L trapézoïdale très allongées. $^dSS^d$ = $2/5$ de la hauteur sous-actinopharyngienne. Par suite de la contraction oro-aborale, la hauteur relative des cloisons diffère à gauche et à droite; elle diminue régulièrement à partir de 4. Pelotons mésentériques sur a - 6. Bourrelet mésentérique du type 2 de O. CARLGREN (1924).

11 botrucnides : 5 gauches, 6 droites. Cnidorages petits, ovoïdes, 40μ diam.) contenant 6-7 gros nématocystes allongés (jusque $55 \times 7 \mu$).

13 tentacules marginaux : 7T , 5T , 3T , 1T , pT , aT , —, T^a , T^p , T^1 , T^3 , T^5 , T^7 , T^9 .

35 sarcoseptes : ^{14}S - aS , $^dSS^d$, S^a - S^{15} .

31 loges complètes : ^{12}L - aL , L, L^a - L^{13} , 1.

11 botrucnides : 3S - aS , —, S^a - S^4 .

Remarques. — A part les différences, d'une part dans le nombre de leurs éléments caractérisant leurs stades évolutifs et d'autre part, dans leurs formes générales et leurs dimensions, différences qui résultent de leur état de contraction au moment de leur fixation, ces quatre cérianthules se rapportent à l'espèce *canariensis* décrite par O. CARLGREN en 1924.

Distribution géographique. — La découverte de ces deux larves au large de la Côte d'Ivoire reportée, plus au Sud, l'aire de distribution dans l'Océan Atlantique de cette espèce mentionnée dans les parages des Iles Canaries (O. CARLGREN, 1924) et des Iles du Cap Vert (E. LELOUP, 1964).

Nombre des éléments chez *Cerianthula canariensis* CARLGREN, 1924.

Travaux	O. CARLGREN 1924	E. LELOUP						
		1964			1967			
axe oro-aboral, mm	6,5	4,0	3,6	3,3	3,4	5,7	6	6
diamètre, mm ...	2,9	5,0	6,0	5,8	4,3	4,7	3,3	3,7
tentacules marginiaux ...	8	9	10	9	8	10	8	13
sarcoseptes ...	31	27	30	26	30	39	25	35
botrucnides ...	14	11	14	13?	10	14	11	11

Cerianthula spinifer (Ed. VAN BENEDEN, 1897).

(Pl. I., fig. 10; Pl. II, fig. 5; fig. texte 6.)

Cerianthula spinifer, E., LELOUP, 1964, pp. 299-301; pl. VIII, fig L; fig. texte 26, 29 (bibliographie et synonymie).

Origine et matériel. — Annobon — 1 spécimen.

Description. — Larve blanchâtre, transparente en liquide conservateur. Sur la colonne, l'ectoderme est enlevé en totalité et l'endoderme en grande partie; mésoglée épaisse. Corps ovoïde (Pl. I, fig. 10), plus haut (4 mm) que large (2,9 mm). Pôle oral aplati, actinostome ovalaire, largement ouvert; cône buccal peu marqué. Pôle aboral prolongé par une pointe (0,4 mm) triangulaire de profil, portant un pore apical.

8 tentacules marginaux (4 gauches, 4 droits : a. p. 1, 3 (fig. 6) dressés, allongés (3 mm max.), minces, de diamètre uniforme.

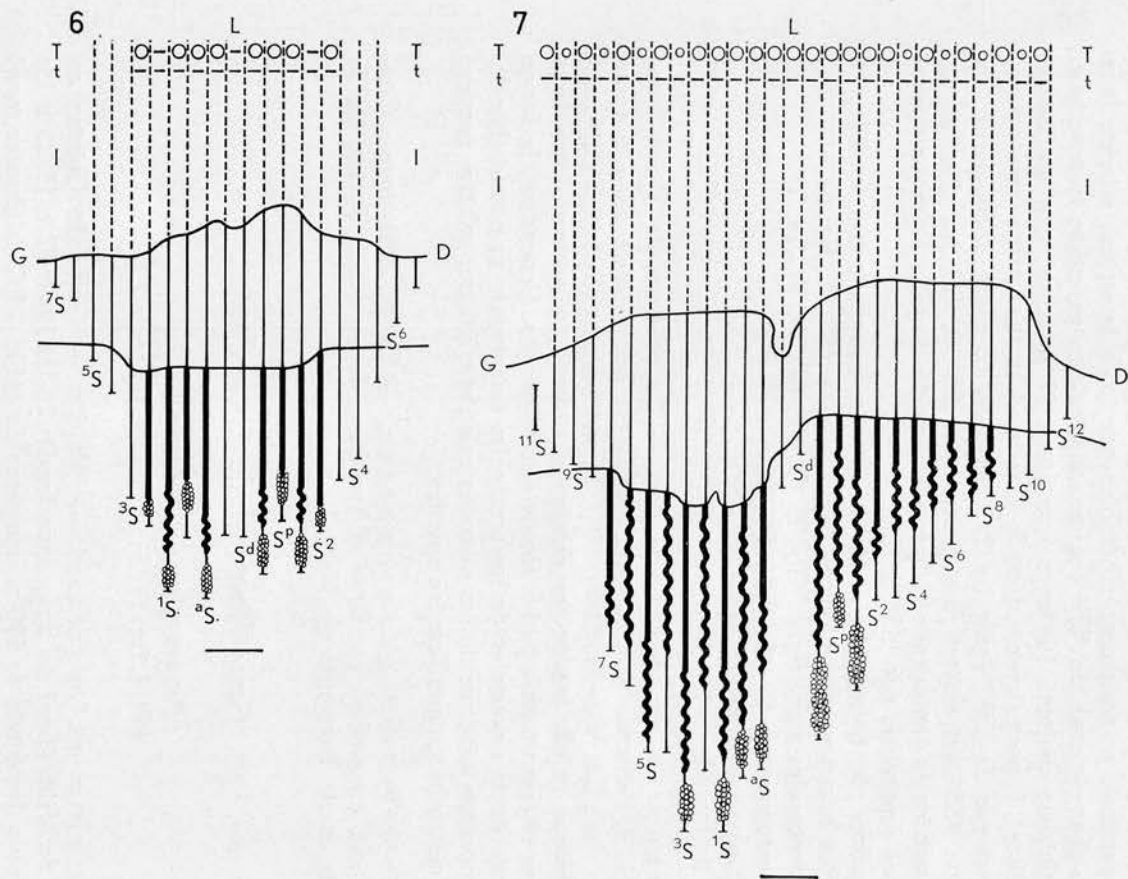


Fig. 6, 7 — Reconstitution de larves de Cérianthaires.
 6 — *Cerianthula spinifer* (Ed. VAN BENEDEN, 1897).
 7 — *Angianthula cerfontaini* sp. n.

Actinopharynx = 1/3 de la hauteur totale; isolé de la paroi du corps à cause de la rupture des cloisons complètes; paroi ovale, à côtes ectodermiques élevées. Sulcus large; pas d'hyposulcus; pas d'hémisulques.

20 cloisons (10 gauches, 10 droites, 4 incomplètes: ⁷S, ⁶S, S⁵, S⁷) (fig. 6) abîmées, généralement les plus longues sont arrachées de leur base pariétale et seulement repérables par leurs insertions minces; base actino-pharyngienne de ⁴SS^d épaisse, triangulaire en coupe transversale. Les cloisons limitent 16 loges complètes (7 gauches, une antérieure, 7 droites, 1 postérieure) dont L trapézoïdale. La partie sous-actinopharyngienne de ⁴SS^d égale les 2/3 de celle du corps, ⁵SS^p atteint, ou presque, ⁴SS^d qui restent plus petites que ^aSS^a et ¹SS¹ les plus hautes. Les sarcoseptes diminuent régulièrement à partir de ¹SS¹. Pelotons mésentériques repérables sur ^aSS^a et ¹SS¹.

4 paires de botrucnides: ^aSS^a - ²SS²; cnidorages petits, ovoïdes, à 3-5 gros nématocystes allongés (40 × 10 μ) (Pl. II, fig. 5).

8 tentacules marginaux: ³T, ¹T, ^pT, ^aT, —, T^a, T^p, T¹, T³.

20 sarcoseptes: ⁷S - ^aS, ⁴SS^d, S^a - S⁷.

16 loges complètes: ⁵S - ^aS, L, S^a - S⁵, 1.

8 botrucnides: ²S - ^aS, —, S^a - S².

Rapports et différences. — La présence de T aux loges a, p, 1, 3, l'absence de t classent cette larve botrucnidiée dans le genre *Cerianthula* Ed. VAN BENEDEN, 1897. L'aspect général de la larve d'Annobon prouve qu'elle a subi une dilatation violente au moment de sa fixation; sa région droite est plus élevée que la gauche. Cependant, la forme générale de sa colonne et de ses tentacules marginaux, sa pointe aborale, la disposition générale de ses sarcoseptes et leur hauteur relative rangent cette cérianthule dans l'espèce *spinifer*.

Distribution géographique. — Océan Atlantique: Courant Sud équatorial, au large d'Annobon, de la côte d'Ivoire, de la Guinée et de Fernando de Noronha.

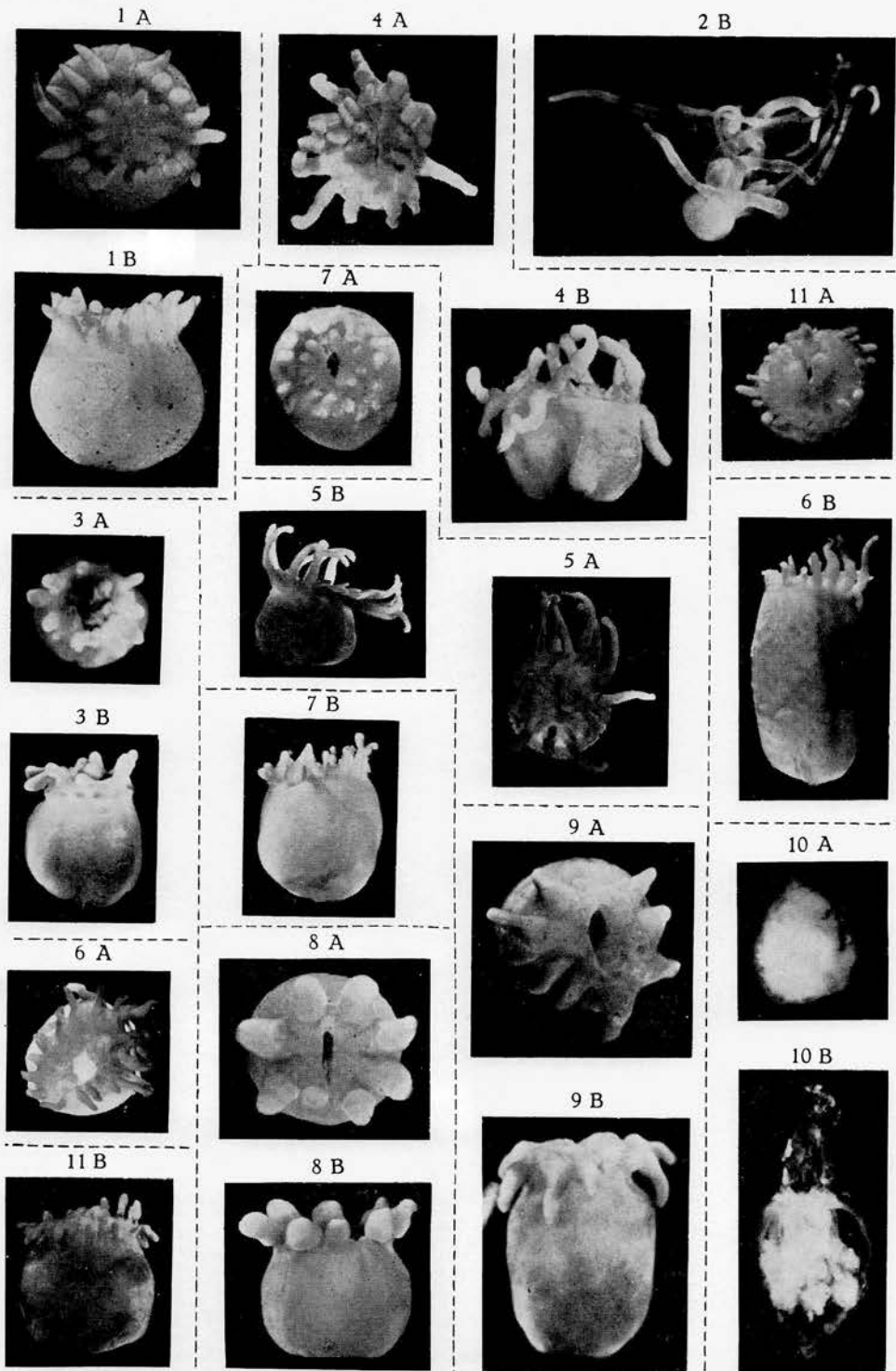
Genre *Angianthula* LELOUP, 1964.

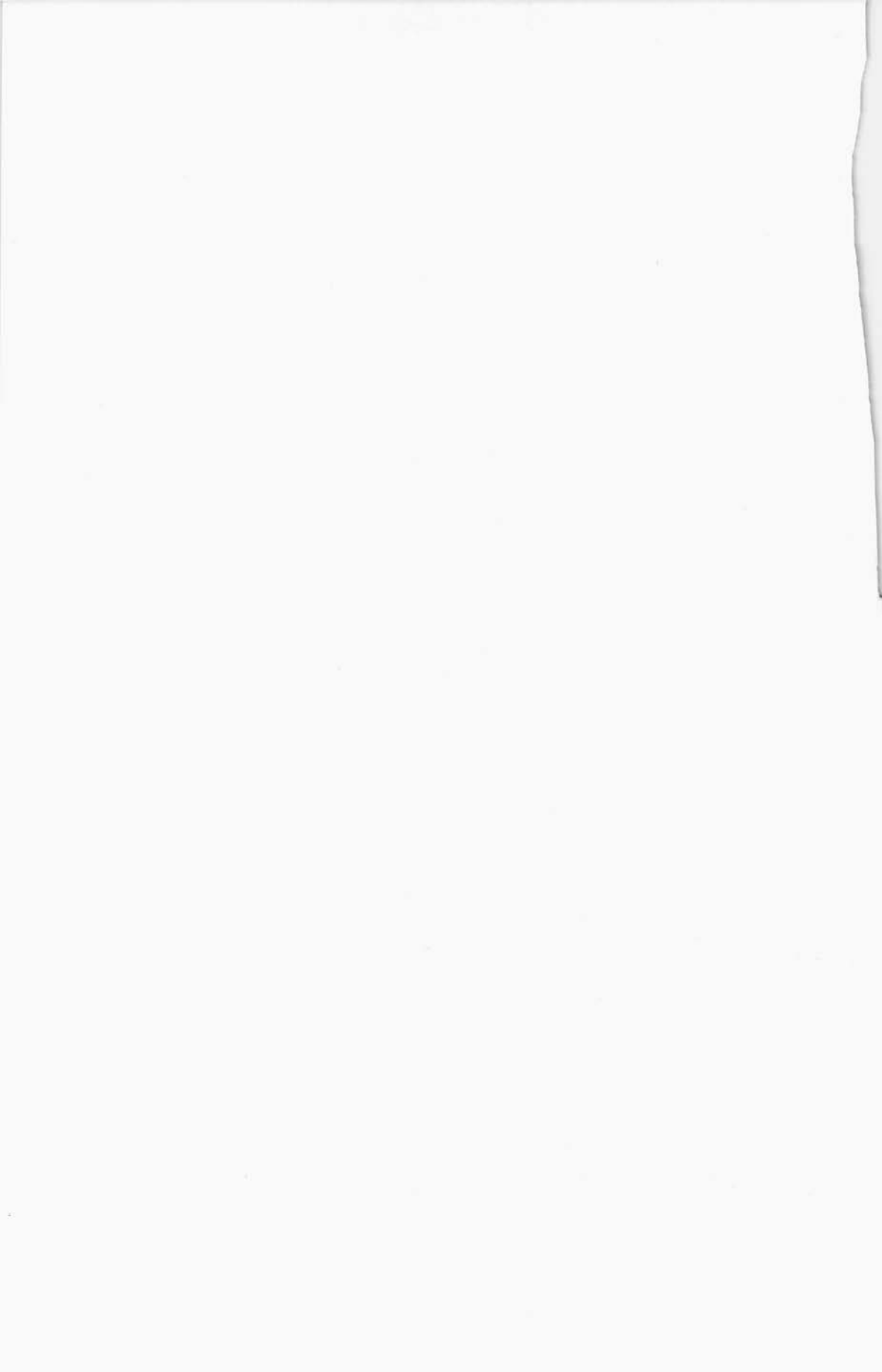
Angianthula cerfontaini sp. n.

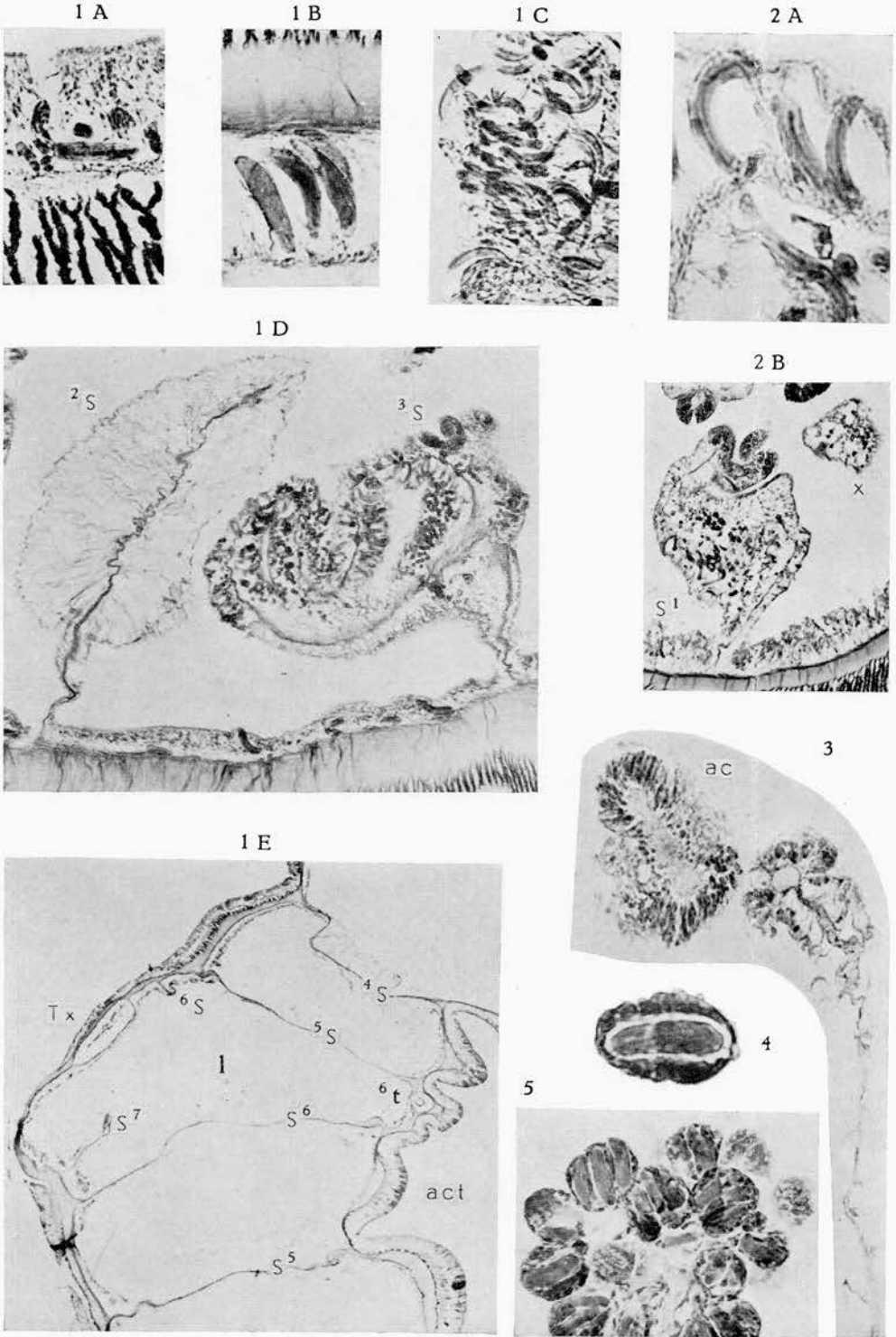
(Pl. I, fig. 11; Pl. II, fig. 4: fig. texte 7.)

Origine et matériel. — N° 484 — Golfe de Guinée; au large de Vridi (bord du Trou sans fond); 28-III-1962; 22 h 15-23 h 15; au-dessus des fonds de 500 m, longueur du câble, 1480; Midwater trawl Isaac Kidd — 1 spécimen.

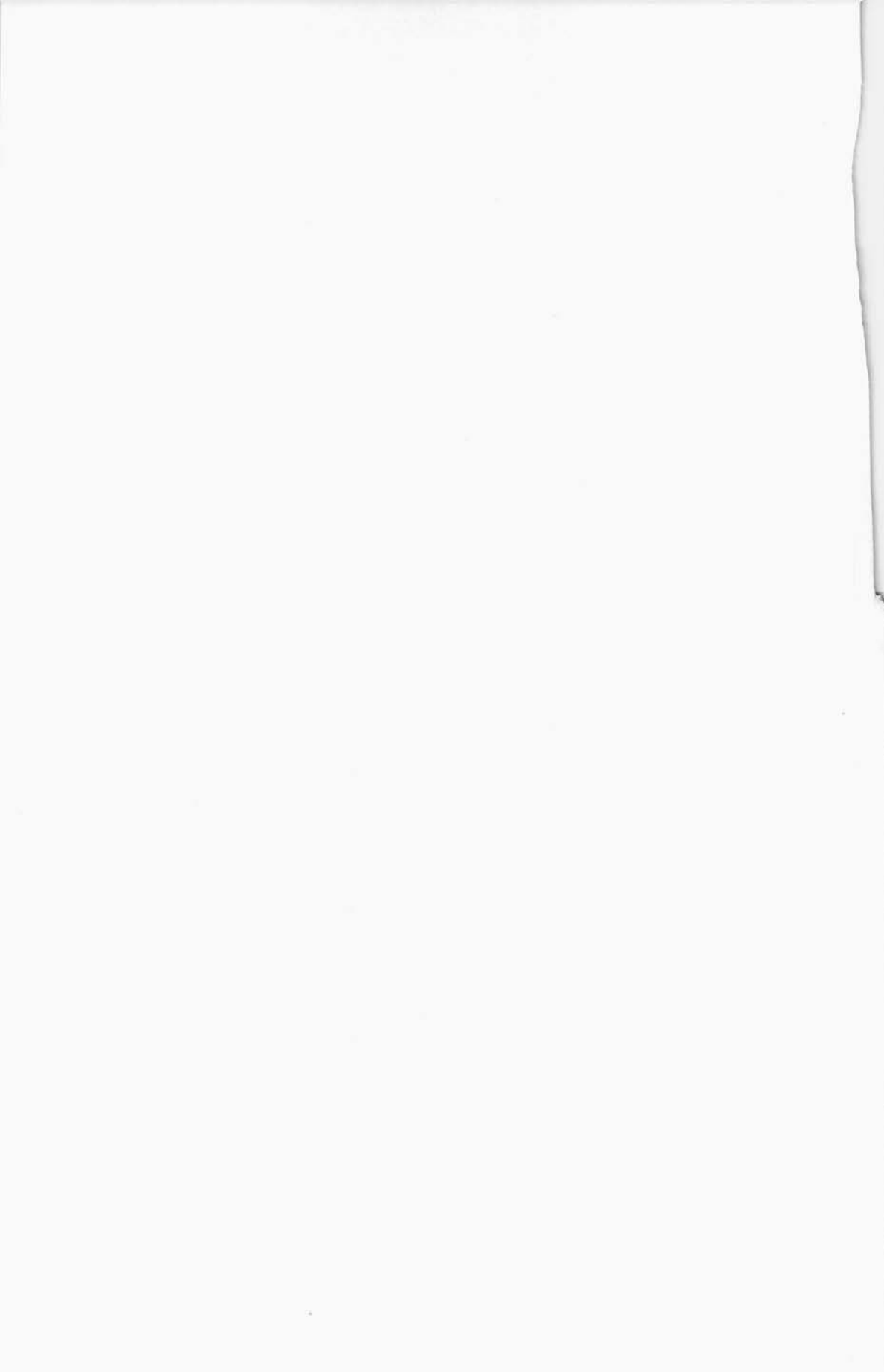
Description. — Larve brun clair dans le liquide conservateur, mauvaise conservation. Corps sphérique (Pl. I, fig. 11), aussi haut (4 mm) que large (4 mm), moitié droite contractée dans le sens de la hauteur (fig. 7). Face orale plane, circulaire; cône buccal brun marqué;







E. LELOUP. — Larves de Cérianthaires du Golfe de Guinée



fente actinostomienne à côtes lisses, allongée (1,5 mm) et étroite (0,2 mm). Face aborale arrondie, avec un orifice anal au centre d'une dépression aborale.

27 tentacules marginaux (13 gauches, 1 médian antérieur, 13 droits) (fig. 7) séparés, cylindriques, à bouts arrondis, courts, épais ($T^3 = 1,1 \times 0,4$ mm), recourbés; 4, 6, 8, 10 plus petits.

Actinopharynx allongé, paroi lisse; 1/5 de la hauteur totale; pas d'hyposulcus ni d'hémisulques.

29 sarcoseptes (14 gauches, 15 droits; ^{10}S , ^{11}S , S^{11} incomplets) (fig 7) limitent 26 loges complètes (11 gauches, 1 antérieure, 13 droites, 1 postérieure) dont L trapézoïdale. $^dSS^d$, très courts. Par suite d'une contraction anormale de la moitié droite, les régions inférieures des cloisons sont abîmées sauf celles de S^a , S^1 , S^p dans l'ordre décroissant de hauteur; la disposition et l'anatomie des cloisons gauches ne peuvent se déduire avec certitude des coupes microscopiques. $^dSS^d$ dépassent à peine le bord entérostomien; 3S et 1S , de même valeur et les plus longues atteignent presque toute la hauteur sous-actinopharyngienne; ensuite en ordre décroissant viennent pS , puis aS et 2S sur une même ligne, 4S et 5S identiques, 6S , 7S , 8S à peine plus hautes que l'actinopharynx. Pelotons mésentériques sur a-8. Bourrelets mésentériques du type 2 de O. CARL-GREN (1924).

7 botrucnides: 4 (a, p, 1, 3) à gauche et 3 (a, p, 1) repérables à droite. Cnidorages petits (Pl. II, fig. 4), contenant un gros nématocyste ovoïde ($36 \times 15 \mu$).

27 tentacules marginaux: $^{11}T - ^aT$, T, $T^a - T^{11}$.

29 sarcoseptes: $^{11}S - ^aS$, $^dSS^d$, $S^a - S^{12}$.

26 loges complètes: $^9L - ^aL$, L, $L^a - L^{11}$, 1.

7 botrucnides: 3S , $S^1 - ^aS$, —, $S^a - S^1$, ?

Rapport et différences. — La présence d'un T à chaque loge de L à 9L et L^{11} , de botrucnides sur les cloisons a, p, 1, 3, la petitesse des cnidorages à un nématocyste, l'absence d'hyposulcus et d'hémisulques, la hauteur réduite de $^dSS^d$ ainsi que les hauteurs respectives de $^1S - ^8S$ rangent cette larve botrucnidée dans le genre *Angianthula* LÉLOUP, 1964.

Elle diffère de l'espèce type *bargmannae* (4) par la forme générale sphérique du corps, la longueur et la forme cylindrique des T dépourvus d'une pointe distale, le nombre des T moins élevé par rapport à celui des cloisons et des loges complètes (15 T, 23 S, 20 L pour *bargmannae* — 27 T, 29 S, 26 L pour l'exemplaire de Vridi).

Je distinguerai cette larve sous le nom spécifique de *cerfontaini* en l'honneur de P. CERFONTAINE (Liège), élève de Ed. VAN BENEDEN.

Diagnose. — Larve sphérique de Cérianthaire avec botrucnides aux cloisons a, p, 1, 3. Tentacules marginaux cylindriques, courts, à

(4) LÉLOUP, E. 1964, pp. 284-285; fig. texte 17, 29; pl. VIII, fig. J; pl. XIV, fig. 5-12.

bouts arrondis. Pas d'hyposulcus ni d'hémisulques. ζ très courtes. Un nématocyste par cnidorage.

Distribution géographique. — Golfe de Guinée, au large de la Côte d'Ivoire.

INDEX BIBLIOGRAPHIQUE.

CARLGREN, O.

1924. *Die Larven der Ceriantharien, Zoantharien und Actinarien* (Wissen. Ergeb. der Deut. Tiefsee-Expedition (Valdivia), Bd. 19, Heft 8, pp. 341-424, fig. 1-12 dans le texte, pl. XXXIII-XXXVIII).

LELOUP, E.

1964. *Larves de Cérianthaires*. (Discovery Reports, XXXIII, pp. 251-307, fig. 1-29 dans le texte, pl. VIII-XXI).

MC MURRICH, J. P.

1910. *Actinaria, Ceriantharia*. (Siboga Exped. monogr., XV a, pp. 1-48, fig. 1-14 dans le texte, pl. I).

INSTITUT ROYAL DES SCIENCES NATURELLES DE BELGIQUE.

EXPLICATION DE LA PLANCHE I.

Larves de cérianthaires.

A = vue supérieure — B = vue latérale.

- Fig. 1. — *Syndactylactis chuni* CARLGREN, 1924 — Large de Vridi, $\times 6$.
 Fig. 2, 3. — *Sacculactis guntheri* LELOUP, 1964 — Fig. 2 = Annobon, $\times 5$ — Fig. 3 = Large de Vridi, $\times 6$.
 Fig. 4, 5, 6. — *Bursanthus bamfordi* gen. n., sp. n. — Large de Vridi : fig. 4, $\times 2,5$; fig. 5, $\times 0,9$; fig. 6, $\times 1,5$.
 Fig. 7. — *Isapiactis obconica* (MC MURRICH, 1910) — Large de Vridi, $\times 5,5$.
 Fig. 8, 9. — *Cerianthula canariensis* Ed. VAN BENEDEN, 1897 — Large de Vridi : fig. 8, $\times 5$; fig. 9, $\times 4,5$.
 Fig. 10. — *Cerianthula spinifer* (Ed. VAN BENEDEN, 1897) — Annobon, $\times 4$.
 Fig. 11. — *Angianthula cerfontaini* sp. n. — Large de Vridi, $\times 4,5$.

EXPLICATION DE LA PLANCHE II.

Larves de cérianthaires.

- Fig. 1. — *Bursanthus bamfordi* gen. n., sp. n. — A, B, C = n° 483 : Nématocystes, $\times 230$, de l'ectoderme (A), de l'endoderme (B), des pelotons mésentériques (C).
 D, E = n° 486 : D = Cloisons 2S et 3S avec pelotons mésentériques, $\times 89$ — E = Loge postérieure (1) avec ébauche de 6S , S^7 , 6t , T_x (= 6T ?) : act = actinopharynx, $\times 37$.
 Fig. 2. — *Sacculactis guntheri* LELOUP, 1964 — A = Nématocystes de S^1 , $\times 570$ — B = Coupe transversale de S^1 ; x = coupe dans un pli de la cloison, $\times 89$.
 Fig. 3. — *Isapiactis obconica* (MC MURRICH, 1910) — Coupe transversale de aS , ac = acontioïde, $\times 230$.
 Fig. 4. — *Angianthula cerfontaini* sp. n. — Cnidorage, $\times 570$.
 Fig. 5. — *Cerianthula spinifer* (Ed. VAN BENEDEN, 1897) — Botrucnide, $\times 230$.

